

مدل‌سازی آزمایشگاهی مهاجرت در سیستم گسلی فعال شکرآب (شمال بیرجند)

مهدی یوسفی^(۱)، محمد مهدی خطیب^(۲) و ابراهیم غلامی^(۳)

- دانشجوی دکتری تکتونیک، گروه زمین‌شناسی، دانشگاه بیرجند، بیرجند، ایران
- استاد گروه زمین‌شناسی، دانشکده علوم، دانشگاه بیرجند، بیرجند، ایران
- دانشیار گروه زمین‌شناسی، دانشکده علوم، دانشگاه بیرجند، بیرجند، ایران

تاریخ دریافت: ۹۶/۰۴/۲۰

تاریخ پذیرش: ۹۶/۰۸/۱۵

چکیده

سیستم راندگی شکرآب واقع در شمال شهر بیرجند، دارای پرتگاه‌های متناوب گسلی هم‌رونده با گسل اصلی می‌باشد. با توجه به ویژگی‌های ساختاری، سازوکار روندهای گسلی موجود در منطقه، چین‌های وابسته به گسلش و رخداد مهاجرت از سمت شمال به جنوب در گسل شکرآب، مدل‌سازی برای الگوی هندسی انتشار گسل انجام می‌گیرد که منطبق بر پهنه گسلی شکرآب باشد. در این مدل پرتگاه‌های جدید در فرو دیواره پرتگاه‌های قبلی تشکیل می‌شوند. براساس نتایج مدل‌سازی انجام‌گرفته، مهمترین عامل برای ایجاد پرتگاه‌های متناوب، فشارش شمالی-جنوبی در راندگی شکرآب می‌باشد. در هر مرحله با افزایش مقدار کوتاه شدگی، گسل‌های جدید ظاهر می‌شوند؛ بهنحوی که اولین راندگی در سمت شمال پهنه شکرآب ایجاد می‌گردد و گسل‌های بعدی با افزایش مقدار کوتاه شدگی به میزان حدکثر ۵۸٪، در سمت جنوبی پهنه و در فرو دیواره گسل‌های قبلي ایجاد می‌شوند. در این مدل‌سازی، شبیه راندگی‌های ایجاد شده در چهار مرحله کوتاه شدگی بین ۶۵-۶۰ درجه متغیر می‌باشد که با شبیه واقعی گسل‌های شکرآب به میزان ۷۰ درجه همخوانی تقریبی دارد. با توجه به نتایج آزمایشگاهی مشخص می‌شود که توالی ایجاد راندگی‌ها در هر مرحله مدل‌سازی با توالی راندگی‌ها در پهنه شکرآب و با مهاجرت شمالی-جنوبی گسل سازگار می‌باشد. با توجه به هندسه راندگی‌ها و پس راندگی، مدل تشکیل ساختارها در این پهنه گسلی مدل سری شکننده پیش بوم^۱ می‌باشد که شاخه‌های راندگی‌ها از یک نقطه منشاء می‌گیرند.

واژه‌های کلیدی: مدل‌سازی، گسل راندگی، پهنه شکرآب، کوتاه شدگی، مهاجرت گسل.

مقدمه

مهاجرت گسل پدیده‌ای است که به شناخت دقیق موقعیت قطعات گسلی فعال و غیرفعال در پهنه گسلی کمک می‌کند و همچنین مکان احتمالی گسیختگی زمین در رخداد آتی را مشخص می‌کند. Stewart and Hancock (1990) مهاجرت گسل را پدیده‌ای می‌دانند که طی آن

1. foreland breaking sequence

* نویسنده مرتبط: geomehdisa31@yahoo.com

(Pondard et al., 2007) برهم‌کنش گسلی در حوضه‌های کششی دریای مرمره (شمال گسل آناتولی) را مورد مطالعه قرار داده و نتیجه گرفته‌ند سکانس گسیختگی‌ها از سال ۱۷۶۶ تا ۱۷۱۹ بیان‌گر مهاجرت گسیختگی‌ها از قطعه غربی به فروافتادگی کششی بین دو قطعه و نهایتاً به طرف قطعه شرقی می‌باشد. اسلامی و خطیب (۱۳۸۵) در بررسی مهاجرت در پهنه گسلی اردکول، سیری را برای تکامل گسل‌های امتداد لغز از جنینی، جوانی، بلوغ و پیری بیان می‌کند. اسکندری (۱۳۸۷) در تحلیل مهاجرت گسلی و ارتباط گسل دشت بیاض با گسل‌های سمت‌پاره، مهاجرت شمال-جنوبی را برای گسل دشت بیاض با ترسیم مقاطع عمود بر گسل پیشنهاد می‌دهد. پس از بررسی و تعیین سوی مهاجرت در سیستم گسلی، مدل‌سازی آزمایشگاهی این پدیده جهت شناخت و فهم بهتر این عارضه تکتونیکی ضروری به نظر می‌آید. اهمیت مدل‌سازی به آن جهت است که رخدادهای زمین‌شناسی که در مقیاس کلان رخ می‌دهند را می‌توان در آزمایشگاه مرحله به مرحله شبیه‌سازی کرد. تکتونیک تجربی شاخه‌ای از علم زمین ساخت است که به بررسی ویژگی‌های هندسی و جنبشی و شرایط تشکیل عناصر ساختاری و ساختمان‌های پوسته زمین در محیط آزمایشگاه می‌پردازد. گرچه متغیرهای موجود در طبیعت سنگ کره زمین بی‌شمارند، لیکن برای فهم نحوه پیدایش ساختارها، جنبش‌ها، برهم‌کنش‌ها و اندرکنش‌ها اجزاء تشکیل‌دهنده سنگ کره و سست کره می‌توان با در نظر گرفتن تعدادی از متغیرها، این فرآیندها را در آزمایشگاه در معرض تجربه گذاشت و شرایط کمی و کیفی ساختارها را تحلیل کرد. مدل‌سازی فیزیکی از قرن نوزدهم برای بررسی ساختارهای زمین‌شناسی به کار برده شد. تا شناخت کمی و کیفی پیرامون مباحث زمین به دست آید. همچنین بررسی شرایط مرزها، اعم از واگرا یا همگرا، بسته به نیاز آزمایشگر می‌تواند مورد بررسی قرار گیرد و بنابراین این روش‌ها فرصت مناسبی را برای بررسی تکامل ساختاری سه بعدی یک مدل خاص پدید می‌آورند و تصاویر پی در پی از کینماتیک مدل، کمک قابل توجهی به تفسیر نمونه‌های اصلی در طبیعت خواهد کرد. مدل‌های فیزیکی در صورتی نمایانگر واقعیت هستند که مقیاس به کاربرده شده برای

(۲) مهاجرت گسل با مفهوم گسترش سطح گسلی موجود. این پدیده در شرایط کرنش شکننده رخ می‌دهد که در آن برش و گسیختگی وجود داشته باشد و شرط لازم، برتری مقادیر تنش از مقاومت سنجک‌ها می‌باشد. در گسل‌های امتداد لغز سوی مهاجرت به موازات محور بزرگ تنش می‌باشد و قطعه‌ای که در آن افزایش تجمع تنش رخ دهد، بعد از گذشت از مقاومت تسلیم سنجک‌ها، در آن قطعه گسیختگی و افزایش طول رخ می‌دهد؛ که در این گسل‌ها پارگی‌های جدید عمدتاً در محل‌های فشارش و کشش بین قطعات که دارای بیشترین تجمع تنش هستند، رخ می‌دهند و منجر به تشکیل قطعه بزرگ‌تر می‌شود (Mueller and Talling, 1997). در مهاجرت طولی گسل، گسترش گسیختگی به موازات محور بزرگ تنش است. در سیستم‌های راندگی، مهاجرت عرضی گسل با توجه به جهت افقی محور بزرگ تنش، با افزایش فشردگی و کوتاه‌شدگی همراه است و نسل‌های جدید گسل‌ش در راستای عمود بر روند محور فشارش رخ می‌دهند و عمدتاً دارای هندسه موازی و انتشار جانبی به شکل چند روند گسلی به موازات هم هستند. البته در سیستم‌های راندگی بسته به دارا بودن مولفه امتدادی علاوه بر مولفه چیره راندگی، ممکن است افزایش طول گسل و مهاجرت در طول گسل رخ دهد. پرنتگاه‌های جدید بسته به اینکه تکامل راندگی‌ها از چه مدلی پیروی می‌کنند، می‌توانند در راستاهایی به موازات هم در فرادریواره یا فرودیواره گسل اصلی رخ دهند. مطالعات زیادی جهت بررسی پدیده مهاجرت گسلی در سراسر جهان انجام شده است که می‌توان به موارد زیر اشاره کرد: (Plafker, 1976) در بررسی سامانه گسلی فعال موتاگوا-گواتمالا، با توجه به بررسی گسیختگی سطحی عظیم در ۱۹۷۶ و دیگر سامانه‌های گسلی که به موازات موتاگوا در گواتمالا بودند و طی سنوزوئیک پسین جابجایی داشتند، این پهنه گسلی را نتیجه مهاجرت و به هم پیوستن چند سامانه گسلی می‌داند. (Keller et al., 1999) شواهد زئومورفیکی را برای تعیین جهت مهاجرت جانبی در گسل معکوس مورد مطالعه قرار داد و بیان کرد سوی مهاجرت جانبی در راندگی‌ها در جهت مناطقی با تراکم کمتر آبراهه‌ها که حاکی از فعالیت بیشتر می‌باشد، قرار دارد.

منها تغییرات در انواع ساختارهای موجود در بندرعباس و جنوب خاور زاگرس (Molinaro et al., 2004)، تأثیر ضریب چسبندگی قاعدهای در سبک دگرشكلي پهنه گسل منقارک با به کارگیری روش مدلسازی آنالوگ (پیروز و همکاران، ۱۳۸۵)، شبیه‌سازی آزمایشگاهی زون‌های برخوردي و تشکيل کمربندهای چین-راندگی به روش مدلسازی فیزیکی (خدرازده و بحودی، ۱۳۸۹)، تحلیل عناصر ساختاری کوه کمر حاجی، شمال باخته بیرجند (رشیدی و همکاران، ۱۳۹۳) مدلسازی جنبش شناختی امتدادلغز در یک پهنه برشی با نرخ لغزش ناهمسان در پهنه لوت، خاور ایران (بیزان پناه و همکاران، ۱۳۹۴) و در این نوشتار با توجه به ویژگی‌های ساختاری و سازوکار روندهای گسلی موجود در منطقه شمال بیرجند، چین‌های وابسته به گسلش و رخداد پدیده مهاجرت از سمت شمال به جنوب در گسل شکرآب (یوسفی و همکاران، ۱۳۹۴)، مدلسازی آزمایشگاهی برای الگوی هندسی انتشار گسل صورت می‌پذیرد به نحوی که منطبق بر تکامل پهنه گسلی شکرآب باشد.

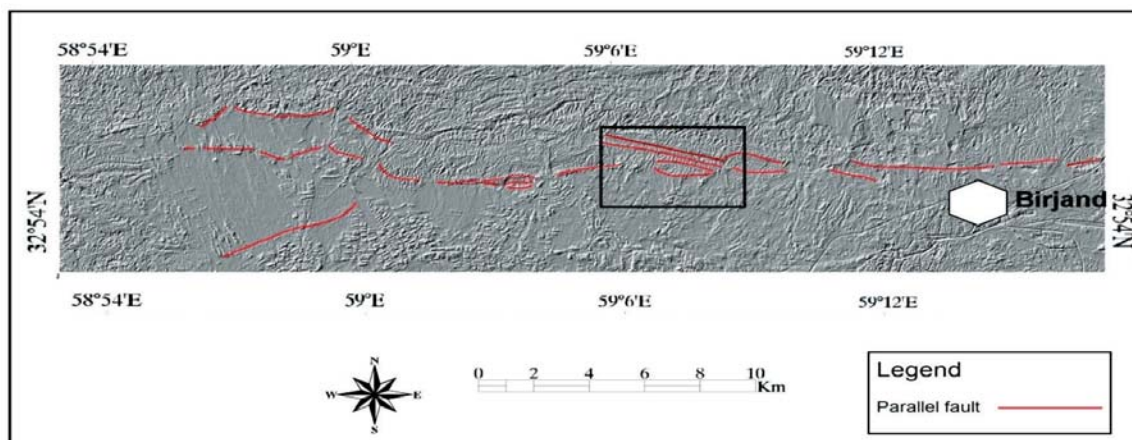
زمین‌شناسی منطقه

پهنه گسلی شکرآب در بین طول‌های جغرافیایی "۰°۰'۵۹° تا "۰°۱۸'۵۹° شرقی و در بین عرض‌های جغرافیایی "۲۰°۳۰' تا "۳۰°۵۶'۳۰" شمالی قرار دارد (شکل‌های ۱ و ۲). منطقه مورد مطالعه در ایالت ساختاری سیستان واقع شده است. ایالت ساختاری سیستان در شرق ایران با روند کلی شمالی-جنوبی، نشانگر زمین درز برخوردي بلوك‌های لوت و افغان می‌باشد (Tirrule et al., 1983). وجود سیستم گسلی نهیندان در مرز بین این ایالت ساختاری و پهنه لوت موجب دگرشكلي واحدهای سنگی در حاشیه و درون ایالت ساختاری سیستان شده است. سیستم گسل نهیندان با سازوکار غالب امتداد لغز راستگرد و روند کلی شمالی-جنوبی دارای سرشاخه‌های فرعی زیادی می‌باشد. پایانه شمالی این گسل با چرخش به سمت غرب روندهای شمال غرب-جنوب شرق، شرقی-غربی و شمال شرق-جنوب غربی را نشان می‌دهد؛ لذا پهنه سیستان در بخش شمالی با

آن‌ها مناسب بوده و موادی که استفاده می‌شوند، رفتاری مانند نمونه‌های اصلی نشان دهنند. از دیگر پارامترهایی که نیاز است به طور مناسبی شبیه‌سازی شوند عبارتند از: چسبندگی، گرانروی، زمان، چگالی و طول. مطابق موارد یاد شده تنها مواد خاصی برای استفاده در مدل‌سازی فیزیکی و شبیه‌سازی پدیده‌های زمین‌شناسی مناسب هستند. این انتخاب به طور عمده بستگی به طول و مقیاس زمان دارد (خدرازده و بحودی، ۱۳۸۹). روش‌های مختلفی برای ساخت مدل‌های فیزیکی فرایندهای زمین‌ساختی بزرگ مقیاس مانند فروزانش، کافت‌زایی، گسترش در اثر نیروی گرانش، زمین‌ساخت دانه‌ای به کار گرفته می‌شود. برای مثال مدل‌سازی به روش گریز از مرکز، سبب فهم بهتر نقش نیروی گرانش در دگریختی پوسته زمین و سنگ کره می‌شود (Ramberg, 1967; 1981). مدل‌سازی آزمایشگاهی سیستم‌های راندگی و بازسازی الگوی جنبشی در بسیاری از نقاط جهان صورت گرفته است. از جمله مطالعاتی که پیرامون این موضوع در ایران و سایر مناطق جهان صورت گرفته می‌توان به موارد زیر اشاره کرد: انجام یک سری آزمایش‌ها روی هندسه و حرکت کمربند چین-رانده بالای دکولمان با چسبندگی ضعیف (Costa and Vendevill, 2002)، تحلیل مکانیکی و مشاهده تشکیلات دوپشته در آزمایش‌های جعبه ماسه با نگاهی به کمپلکس افزایشی مدیرانه باخته (Nina et al., 2002)، دوپشته‌های ترافیکار و ساختار گلواره در سیستم گسلی دنت در شمال باخته انگلیس (Woodcock and Rickards, 2003)، تأثیر شیب دکولمان روی هندسه و حرکت مدل‌های دوپشته (Koji and Vendevill, 2003)، مدل دوپشته برای کمربند چین‌خورده کاپه (Booth, 2004)، توسعه زون گسلی و پخش‌شدن گرنش در یک دوپشته امتدادلغز کششی از سیستم گسلی (Cembrano et al., 2005)، مدل تکامل حرکتی برای رشد دوپشته رانجیت (Bhattacharyya and Mitra, 2009) دوپشته‌های راستگرد در پان آفریقا و ساختارهای گلواره در بیان خاوری مصر مرکزی (Abd El-Wahed and Kamh, 2010)، تطبیق کوتاه شدگی در محدوده البرزو شمال ایران (Allen et al., 2003)،

ارتفاع دره (Vf) در آبراهه‌ها، هیپسومتری نسبت ارتفاع (Er) و سینوسیته پیشانی کوهستان (Smf) مقادیر بالای را برای SL ۴۰۴ تا ۱۰۲۰ و Er (۴۷/۰/۸۱ تا ۰/۱۴) و مقادیر پایینی را برای Vf ۰/۲۲ (۱/۱۴ تا ۱/۰۳) و Smf (۱/۷۲ تا ۱/۰۳) نشان می‌دهند که دلالت برجنبایی پهنه شکرآب دارند. با وجود نقش انکارناپذیر گسل شکرآب در دگریختی کلی منطقه، اثر سطحی این گسل به دلیل پوشیده شدن با آبرفت‌های عهد حاضر در اکثر نقاط قابل رویت نمی‌باشد (یوسفی و همکاران، ۱۳۹۲).

تغییر جهت به طرف غرب به صورت تداخلی وارد قطعه لوت می‌شود (خطیب، ۱۳۷۷). پهنه گسلی شکرآب شامل چند سری گسل موازی هم و از سری گسل‌های شرقی-غربی مربوط به پایانه گسل نهیندان می‌باشد که دارای مولفه راندگی با شیب به سمت شمال است (رشیدی، ۱۳۹۰). بررسی زمین لرزه‌های تاریخی و دستگاهی ثبت شده در منطقه شکرآب، نشان از فعالیت مخرب با مکانیزم راندگی و چپگرد دارد (علیمی و همکاران، ۱۳۹۳). محاسبه چهار شاخص ریخت زمین‌ساختی در این پهنه گسلی شامل شاخص طول-گرادیان رودخانه (SL)، نسبت عرض دره به



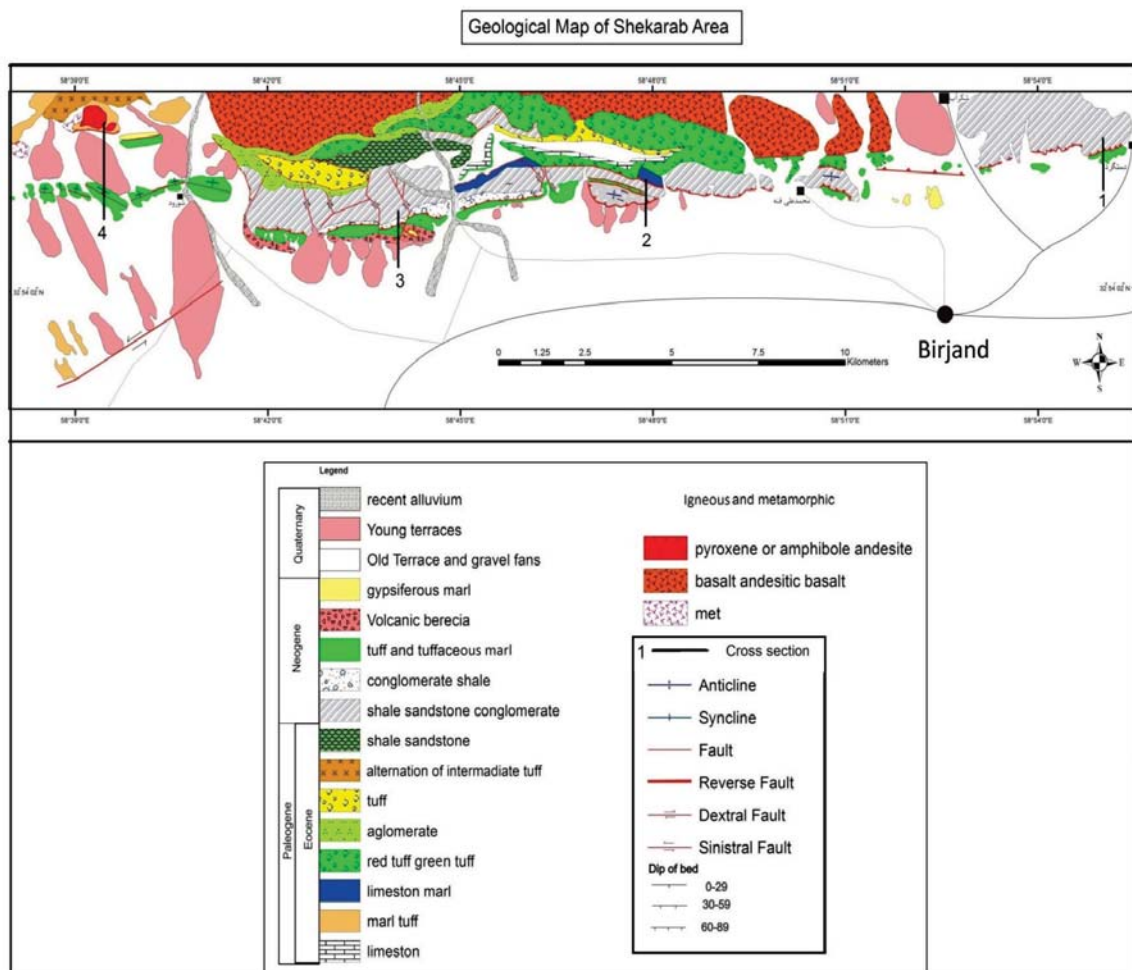
شکل ۱. تصویر ماهواره‌ای از موقعیت پهنه گسلی شکرآب واقع در شمال شهر بیرجند. کادر مشکی رنگ محدوده‌ای است که بیشترین خطواره‌های گسلی را دارا می‌باشد و مدل سازی مطابق آن انجام شده است

می‌دهند) حاکی از مهاجرت گسل به شکل گسل‌ش پنهان می‌باشد (Keller et al., 1999). سیستم راندگی شکرآب واقع در شمال شهر بیرجند، دارای پرتفاگاه‌های متناوب گسلی هم‌روند با گسل اصلی هست. با رسم مقاطع عرضی به صورت عمود بر امتداد گسل و بررسی مکانیزم پرتفاگاه‌ها، مشاهده شد که هر چه از سمت شمال به سمت جنوب حرکت کنیم گسل‌ش در واحدهای جوان تر رخ می‌دهد. در چهار مقطع ترسیمی عمود بر امتداد گسل شکرآب (شکل ۲)، روندهای پلکانی از گسل‌های با امتداد موازی با گسل اصلی مشاهده می‌شود (شکل ۳). در مقاطع مذکور از شمال به سمت جنوب واحدهای قدیمی روی واحدهای جوان تر رانده شده‌اند. قدیمی‌ترین گسل از سری گسل‌های موازی گسل شکرآب در واحدهای پالئوزن قرار دارند و جدیدترین

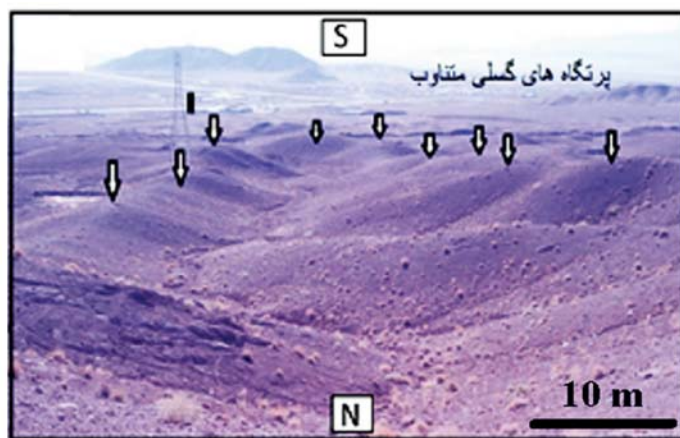
وجود آثار گسل‌ش پنهان به موازات یا در امتداد گسل‌های بزرگ می‌تواند دال بر خداد مهاجرت گسل باشد. گاهی اوقات رخداد مهاجرت منجر به ایجاد سطوح واضح گسلی جدید در سطح زمین نمی‌شود بلکه خود را به شکل ایجاد روندهای گسلی به صورت آثار گسل‌ش پنهان نشان می‌دهد که با بررسی و مطالعه ریزلرزه‌ها (مهاجرت پسلرزه و میکرولرزه‌ها) و شواهد مورفوتکتونیکی قابل مشاهده می‌باشند. به عنوان مثال وجود پرتفاگاه‌ای پله‌ای متناوب و بریدگی‌ها در نهشته‌های کواترنری هم‌روند با گسل اصلی و برخاستگی و چین‌خوردگی در رسوبات جوان و خطی شدن آبراهه‌ها در بخش‌های فعال تر گسل (به دلیل برخاستگی در گسل‌های پنهان، مناطق فعال که در معرض ایجاد گسل‌ش جدیدتر هستند، تراکم آبراهه‌ها مقادیر کمتر را نشان

چپگرد و پلکانی در آبراهه‌ها و وجود آثار گسل‌شیخان در نهشته‌های کواترنری که در دشت جنوبی کوه شکرآب واقع شده‌اند، بیانگر رشد و مهاجرت عرضی پرتگاه‌های گسلی و انتقال دگرباختی در سیستم شکرآب از سمت شمال به سمت جنوب (از کوهستان به طرف دشت) می‌باشد (یوسفی و همکاران، ۱۳۹۴). در این نوشتار پدیده مهاجرت عرضی در راندگی شکرآب و انتشار گسل در آزمایشگاه مدل‌سازی شد. بر این اساس در آزمایشگاه تکتونیک تجربی با استفاده از مدل‌سازی صورت گرفته سعی شد تا الگوی جنبشی منطقه مورد مطالعه بازسازی شده و با ساختار کلی منطقه تطبیق داده شود.

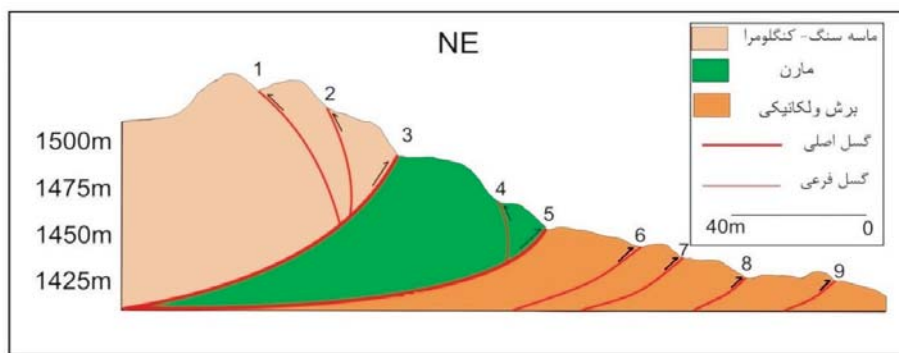
آنها به صورت موازی با گسل شکرآب در مخروطه افکنه‌های جوان قرار دارد (شکل ۴). همچنین اگر یکی از پارامترهای موثر در مهاجرت، جنس و یا مقاومت سنگ‌ها باشد (Lifton and Chase, 1992) مشخص می‌شود که واحدهای کم مقاومت از جمله شیل و مارن در سمت جنوبی گسل و واحدهای مقاومت مثل آهک و ماسه سنگ در سمت شمالی پهنه مطالعاتی واقع شده‌اند. همچنین در مقاطع مختلف با حرکت از سمت شمال به جنوب، افزایش شب در سطوح پرتگاه‌های متعدد گسلی نمایان می‌شود (شکل ۵). این موارد به همراه وجود رشته قنات‌های جدیدتر در جنوب گسل شکرآب، حرکات



شکل ۲. موقعیت مقاطع عرضی بر روی پهنه گسلی که با اعداد ۱ تا ۴ نشان داده شده‌اند



شکل ۳. پرتوگاه های گسلی متناوب با روند شرقی- غربی



شکل ۴. مثالی از مقاطع توپوگرافی عرضی عمود بر گسل شکرآب (مقطع شماره ۳). اعداد ۱ تا ۹ تقدم و تاخر ظهور پرتوگاه های متناوب را نشان می دهند که با حرکت از شمال به جنوب گسلش در واحد های جوان تر خ می دهد



شکل ۵. افزایش شیب سطح پرتوگاه های جنوبی نسبت به پرتوگاه های شمالی که حاکی از جدیدتر بودن آنها نسبت به پرتوگاه های بخش شمالی می باشد ($59^{\circ}17' 35'' E$, $32^{\circ} 55' 11'' N$)

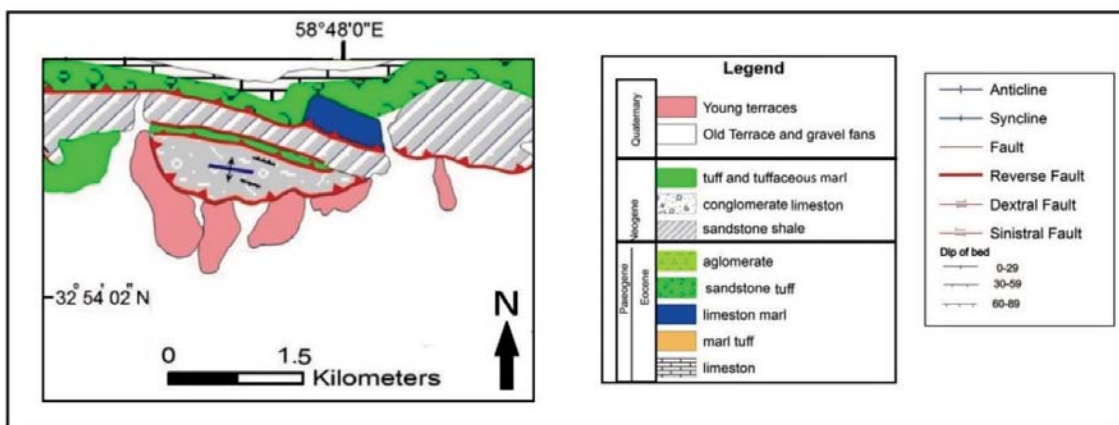
روش کار

تاقدیس های همراه در آن به صورتی که منطبق بر پهنه گسلی باشند، بازسازی و مدل سازی می باشد، بازسازی و مدل سازی شد. همانند الگوی انتشار در روی زمین، در این مدل پرتوگاه های جدید در فرو دیواره پرتوگاه های قبلی (همجهت با حرکت راندگی اصلی) تشکیل می گردند.

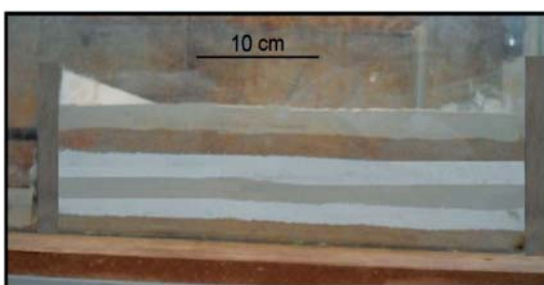
با توجه به ویژگی های ساختاری و سیستم گسلی موجود در منطقه شمال بیرجند و همچنین به دلیل بروز پرتوگاه های متعدد در مقاطع عمود بر گسل شکرآب و با توجه به سازو کار گسل ها در این پهنه، الگوی هندسی گسترش گسل ها و

میانی منطقه شکرآب از نوع آذرآواری و از قدیم به جدید شامل واحدهای مارن توفی، ماسه سنگ توفی، سنگ آهک، ماسه سنگ، مارن توفی و سنگ آهک کنگلومراپی هست، برای شبیه‌سازی دگرشکلی در منطقه، چیدمان لایه‌بندي از پایین به بالا شامل گل رس، ماسه، پودر سنگ، ماسه، گل رس و پودر سنگ هست. با حرکت ورقه متحرک با سرعت ثابت 15 mm/min ، توالی لایه‌ها دگرشکل می‌شوند که در این مدل با ادامه اعمال کوتاه شدگی، راندگی‌ها متناوب و تاقدیس‌های مرتبط با راندگی شکل می‌گیرند. ضربی کوتاه‌شدگی محاسبه شده عبارت است از: $e_x = L - L_0 / L_0$. که در این رابطه L_0 : طول اولیه؛ فاصله بین دو لبه جعبه ماسه در شروع آزمایش و L : طول ثانویه؛ فاصله بین دو لبه جعبه ماسه در هر مرحله آزمایش می‌باشد.

در بخش میانی گسل شکرآب بیشترین خطواره‌های گسلی موازی با گسل اصلی مشاهده می‌شود (شکل‌های ۱ و ۶). مقدار کوتاه شدگی به دست آمده از موازنی مقاطع ترسیم شده بر روی چین‌های دارای روند شرقی-غربی در بخش میانی پهنه شکرآب 58 درصد می‌باشد (رشیدی، ۱۳۹۰). لذا در مدل سازی این مقدار کوتاه شدگی اعمال می‌شود و در هر مرحله آزمایش فاصله بین پرتگاه‌های ایجاد شده نسبت به پرتگاه قبلی، شب گسل‌های ایجاد شده و موقعیت آنها و همچنین ساختارهای ایجاد شده در حین گسل خوردگی نسبت به بخش مرکزی پهنه شکرآب مطابقت داده می‌شود. برای مدل سازی ساختارهای در ارتباط با پدیده مهاجرت گسلی در سیستم شکرآب، از آزمایش جعبه ماسه استفاده گردید. با توجه به اینکه جنس واحدهای سنگی در بخش



شکل ۶. نقشه زمین‌شناسی بخش میانی گسل شکرآب حاوی بیشترین خطواره‌های گسلی است که مدل سازی مطابق آن انجام شده است



شکل ۷. توالی لایه‌ها قبل از شروع آزمایش

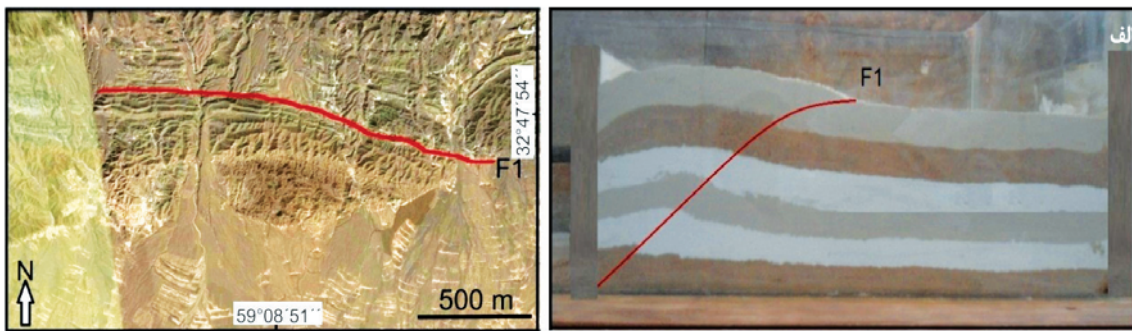
جهت اعمال فشارش با توجه به شب گسل شکرآب، شمالی-جنوبی در نظر گرفته شده است. با اعمال $12/5$ درصد کوتاه شدگی، اولین راندگی در لایه‌ها به وجود می‌آید (شکل

مدل سازی

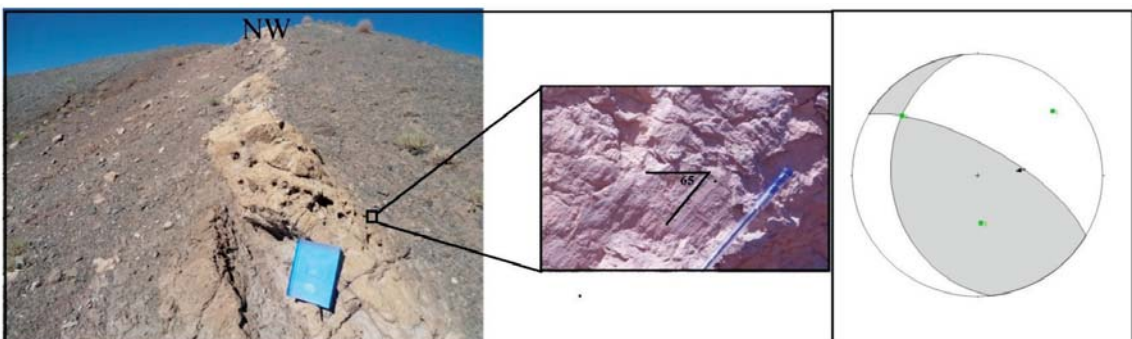
شکل ۷، تناوب لایه‌بندي را قبل از شروع مدل سازی نشان می‌دهد. لایه‌بندي از پایین به ترتیب شامل: گل رس (1cm)، ماسه (1cm)، پودر سنگ (1cm)، ماسه (1cm)، گل رس (1cm) و پودر سنگ (1cm) می‌باشد. بنابراین ضخامت کل لایه‌ها برابر 6cm و ویسکوزیته بالا می‌باشد. با توجه به عرض پهنه گسلی شکرآب در این مقطع که $1/2$ کیلومتر می‌باشد و همچنین فاصله بین دو لبه جعبه ماسه 40 سانتی‌متر در نظر گرفته شده است، مقیاس به کاررفته $1/3000$ می‌باشد.

۷۰ درجه در این مقطع همخوانی قابل قبولی دارد (شکل ۸-ب). گسل F1 یکی از قطعات گسل شکرآب است که نقش اصلی در تشكیل چین خودگی‌های منطقه شمال بیرجند را ایفا می‌کند. موقعیت گسل F1 N60W, 70NE و موقعیت خشلغز آن N82, 59 می‌باشد (شکل ۹). بنابراین سازوکار این گسل تراستی و با مولفه امتدادلغز چپگرد است.

-الف). فاصله این پرتوگاه گسلی از لبه جعبه ۱۶/۳ سانتی‌متر هست. این مرحله را می‌توان با عملکرد گسل F1 در منطقه مورد مطالعه مقایسه کرد که در اثر آن راندگی در واحدهای پالتوژن رخداده است. شب گسل ایجاد شده در این مرحله ۶۵ درجه در عمق می‌باشد که رفته رفته با کاهش عمق کمتر می‌شود و با شب برداشت شده گسل F1 روی زمین به میزان



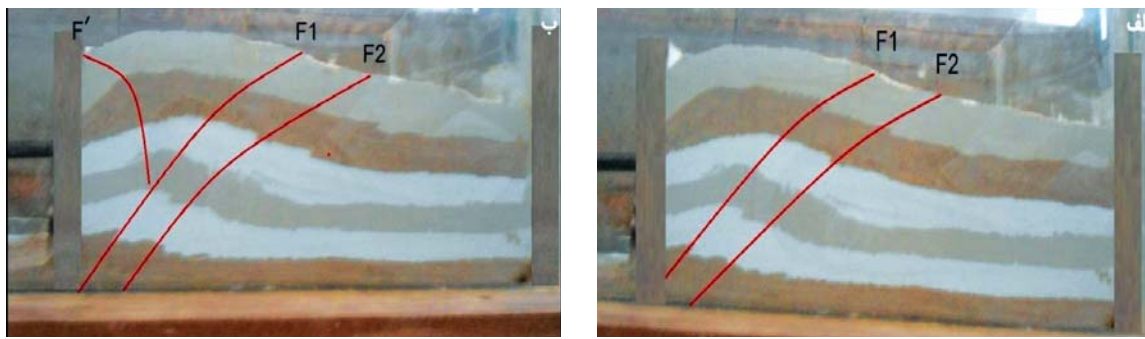
شکل ۸. الف) اعمال ۱۲/۵ درصد کوتاه شدگی و ظهور اولین راندگی. ب) تصویر هوایی از خطواره گسل F1 که قابل مقایسه با اولین گسل تشکیل شده در مدل سازی با اعمال ۱۲/۵ درصد کوتاه شدگی است



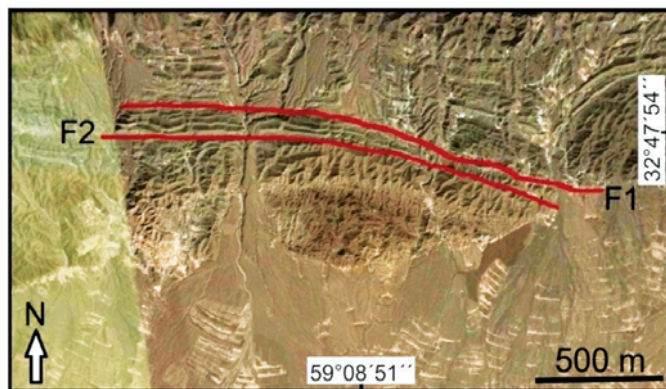
شکل ۹. آثار خشن لغز برداشت شده در گسل F1

در مرحله بعد با افزایش مقدار کوتاه شدگی به میزان ۳۷/۵ درصد، راندگی سوم و چین (تاقدیس اول) مرتبط با نوک راندگی آن با محور شرقی-غربی تشكیل می‌گردد. فاصله این پرتوگاه از پرتوگاه قبلی در جعبه ماسه ۶/۵ سانتی‌متر است که با توجه به مقیاس آزمایش، سوم معادل ۴۸۵ متر بر روی زمین می‌باشد (شکل ۱۰-الف)؛ هرچند فاصله واقعی بین این دو راندگی ۴۳۰ متر می‌باشد. در ادامه کوتاه شدگی، پس راندگی و راندگی‌های موجود توسعه پیدا می‌کنند. این مرحله را می‌توان با عملکرد گسل F3 در منطقه مورد مطالعه مقایسه کرد (شکل ۱۰-ب). همچنین شب گسل ایجاد شده به میزان ۶۰ درجه با شب راندگی‌های قبلی تقریباً یکسان می‌باشد.

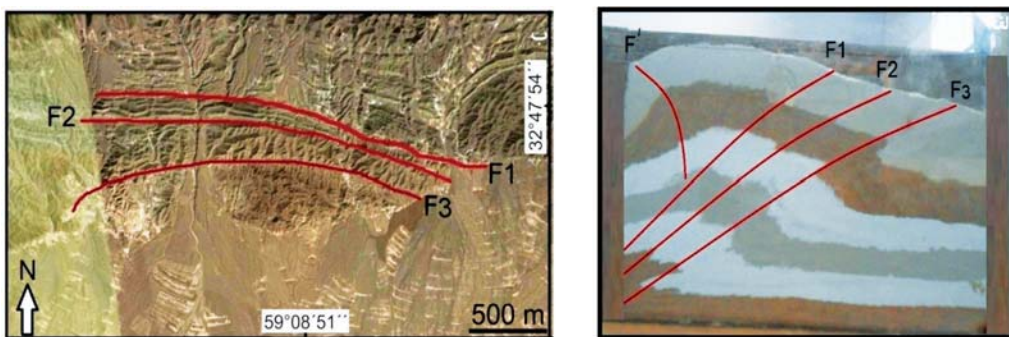
با افزایش کوتاه شدگی به مقدار ۲۳/۵ درصد، راندگی دوم ایجاد می‌گردد. فاصله این پرتوگاه از پرتوگاه قبلی در جعبه ماسه ۶/۱۲ سانتی‌متر است که با توجه به مقیاس آزمایش، فاصله بین راندگی اول و دوم معادل ۴۶۰ متر بر روی زمین است. هرچند فاصله واقعی بین این دو راندگی ۳۲۰ متر روی زمین می‌باشد (شکل ۱۰-الف). با اعمال ۲۷/۵ درصد کوتاه شدگی، گسل پس راندگی اول ایجاد می‌گردد (شکل ۱۰-ب). ایجاد راندگی دوم در این مرحله را می‌توان با عملکرد گسل F2 در منطقه مورد مطالعه مقایسه کرد. این گسل موازی گسل F1 می‌باشد که شب آن با شب راندگی اصلی شکرآب سازگاری دارد (شکل ۱۱).



شکل ۱۰. الف) اعمال ۲۳/۵ درصد کوتاه شدگی و ظهور دومین راندگی. ب) اعمال ۲۷/۵ درصد کوتاه شدگی و تشکیل پس راندگی



شکل ۱۱. تصویر هوایی از خطواره گسل F2 که قابل مقایسه با دومین راندگی تشکیل شده در مدل سازی با اعمال ۲۷/۵ درصد کوتاه شدگی است



شکل ۱۲. الف) ایجاد راندگی سوم و چین مرتبط با راندگی در ۳۷/۵ درصد کوتاه شدگی، ب) تصویر هوایی از خطواره گسل F3 که قابل مقایسه با سومین راندگی تشکیل شده در مدل سازی با اعمال ۳۷/۵ درصد کوتاه شدگی است

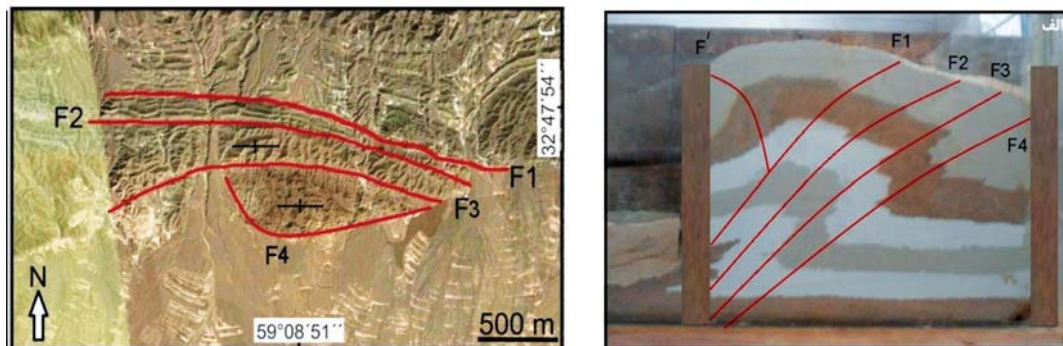
گسل‌های جدید در فرودیواره گسل‌های قبلی، مدل تشکیل ساختار در این پهنه گسلی از نوع سری شکننده پیش بوم می‌باشد که شاخه‌های راندگی معمولاً از یک نقطه منشاء می‌گیرند. این مرحله را می‌توان با عملکرد گسل F4 در منطقه مورد مطالعه مقایسه کرد (شکل ۱۳-ب). با توجه به یکسان بودن شیب گسل در این مرحله با شیب دیگر گسل‌های ایجاد شده در مراحل قبلی به میزان ۶۰-۶۵

با ادامه دگرشکلی (۴۷/۵ درصد کوتاه شدگی) راندگی چهارم گسل در پیش بوم راندگی سوم همراه با چین مرتبط با نوک راندگی هسته گذاری می‌شود. فاصله این پرتگاه از پرتگاه قبلی در جعبه ماسه ۵/۲۱ سانتی‌متر است که با توجه به مقیاس آزمایش، این فاصله بین راندگی سوم و چهارم بر روی زمین معادل ۳۹۰ متر است؛ هرچند فاصله واقعی بین این دو راندگی بر روی زمین ۳۵۰ متر می‌باشد (شکل ۱۳-الف). با توجه به هندسه راندگی‌ها و پس راندگی موجود و تشکیل

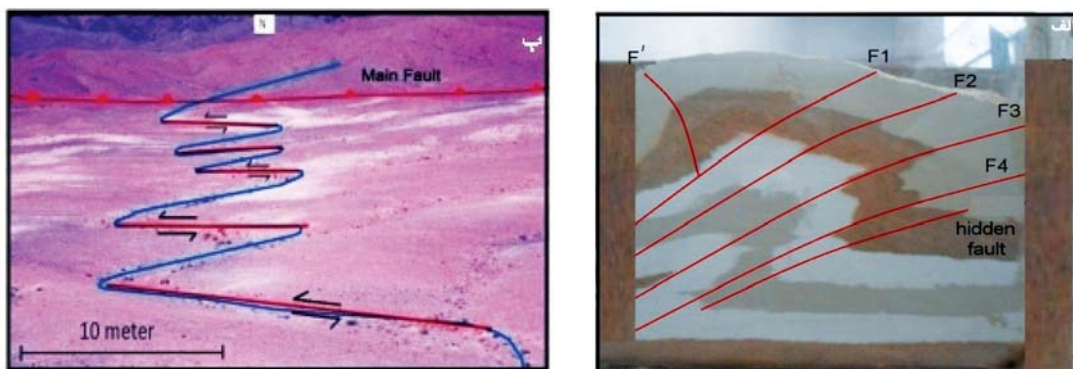
1. Foreland breaking sequence

کرد که به سطح نرسیده اند (شکل ۱۴-الف). این مورد را می توان با گسل های پنهان در دشت جنوبی گسل مطابقت داد (شکل ۱۴-ب) که عملکرد خود را به صورت جابجایی چپگرد در آبراهه ها و برش در نهشته های کواترنری نشان می دهند (یوسفی و همکاران، ۱۳۹۲).

درجه، می توان بین این شبیه ها و شبیه واقعی در پهنه گسلی به میزان ۷۰، درجه انطباق برقار کرد. طول موج و دامنه دو تا قدیس مرتبه با راندگی در مراحل سوم و چهارم آزمایش اندازه گیری شد (جدول ۱). با افزایش کوتاه شدگی به میزان ۵۸ درصد که بیشینه کوتاه شدگی در بخش میانی گسل می باشد، می توان خطوط گسلی در مدل را مشاهده



شکل ۱۳. (الف) ۴۷/۵ درصد کوتاه شدگی و تشکیل راندگی چهارم و همچنین تشکیل چین مرتبط با نوک راندگی با آن، (ب) تصویر هوایی از خطواره گسل F4 که قابل مقایسه با چهارمین راندگی تشکیل شده در مدل سازی با اعمال ۴۷/۵ درصد کوتاه شدگی است



شکل ۱۴. (الف) ادامه کوتاه شدگی به میزان ۵۸ درصد و توسعه گسل های پنهان، (ب) جابجایی متناوب و چپگرد آبراهه ها در بخش مرکزی گسل که بیانگر روندهای پنهان گسلی می باشد که به سطح نرسیده اند ($N = ۵۹^{\circ} ۱۷' ۳۵'' E$, $\phi = ۳۲^{\circ} ۴۶' ۰.۵'' N$)

بحث و نتیجه گیری

چگونگی فعالیت گسل های امتداد لغز شمالی - جنوبی در خاور ایران نشان از همگرایی مایل میان بلوک های ایران مرکزی و افغانستان دارد. این گسل های شمالی - جنوبی با سازوکار امتداد لغز راست بر در پایانه ها، به گسل های شرقی - غربی با مؤلفه چیره راندگی منتهی می شوند (Berberian and Yeats, 2001). در منطقه شمال بیرون گذشت، به علت رژیم فشارشی حاکم، عناصر ساختاری

جدول ۱. اندازه گیری طول موج و دامنه طاقدیس های مرتبه با راندگی در طی آزمایش

تقادیس مرتبه با گسل ۳		تقادیس مرتبه با گسل ۴	
دامنه	طول موج	دامنه	طول موج
(س م)	(س م)	(س م)	(س م)
۴/۴	۱/۵	۳۷/۵	
۳/۱	۲/۳	۴۰/۲	
۲/۷	۳/۳	۴۴	
۴/۳	۲/۳	۴۷/۵	
۳/۸	۱/۹	۴/۱	۵۸

بعدی با افزایش مقدار کوتاه شدگی به میزان حداکثر ۵۸ درصد، در سمت جنوبی پهنه و در فرودیواره گسل‌های قبلی ایجاد می‌گرددند. این پدیده به معنای مهاجرت از شمال به جنوب در این پهنه می‌باشد. شبی صفحات گسلی ایجاد شده در چهار مرحله کوتاه شدگی بین مقادیر ۶۵-۶۰ درجه متغیر می‌باشد که با شبی واقعی گسل‌های پهنه شکرآب به ۷۰ درجه همخوانی قابل قبولی دارند. با توجه به نتایج میزان ۷۰ درجه ایجاد راندگی‌ها در آزمایشگاهی مشخص می‌شود که توالی ایجاد راندگی‌ها در هر مرحله آزمایش در مدل‌سازی با توالی راندگی‌ها در پهنه شکرآب و با مهاجرت عرضی و شمالی-جنوبی گسل سازگار می‌باشد. با توجه به هندسه راندگی‌ها و پس راندگی موجود، مدل تشکیل ساختار در این پهنه گسلی از نوع سری شکننده پیش بوم^۵ می‌باشد که شاخه‌های راندگی معمولاً از یک نقطه منشاء می‌گیرند.

منابع

- اسکندری شورابی، ز.، ۱۳۸۷. تحلیل مهاجرت گسلی و ارتباط گسل دشت بیاض با گسل‌های سمت‌پاچیک با استفاده از GIS، پایان‌نامه کارشناسی ارشد، دانشگاه بیرجند، ۱۷۰.
- پیروز، م.، قاسمی، م.ر.، بدروdi، ع. و سعیدی، ع.ا.، ۱۳۸۵. تأثیر ضریب چسبندگی قاعده‌ای در سبک دگرشکلی پهنه گسل متقارک با به‌کارگیری روش مدل‌سازی آنالوگ. فصلنامه علوم زمین، ۶۱، ۱۷۷-۱۷۸.
- خدرزاده، ص. و بحرودی، ع.، ۱۳۸۹. شبیه‌سازی آزمایشگاهی زون‌های برخوردی و تشکیل کمرندهای چین-راندگی به روش مدل‌سازی فیزیکی. فصلنامه علوم زمین، ۷۷، ۴۴-۱۷.
- خطیب، م.م.، ۱۳۷۷. هندسه پایانه گسل‌های امتدادلغز. پایان‌نامه دکتری، دانشگاه شهید بهشتی، ۲۲۰.
- اسلامی، س.ر. و خطیب، م.م.، ۱۳۸۵. مهاجرت گسل در پهنه‌های امتدادلغز، مطالعه موردنی: پهنه گسلی فعل اردکول-خاور ایران. فصلنامه علوم زمین، ۶۲، ۱۹-۱.
- رشیدی، ا.، ۱۳۹۰. تحلیل هندسی-جنبشی عناصر مانند ساخت دوپشته، ساخت بالارانده، ساخت پهنه‌های سه گوش^۳، ساخت گلواره^۴، چین‌خوردگی و غیره وجود دارد (رشیدی و همکاران، ۱۳۹۳). پهنه گسلی شکرآب در شمال بیرجند شامل چند سری گسل موازی هم و از سری گسل‌های شرقی-غربی مربوط به پایانه گسل نهبندان می‌باشد که دارای مولفه تراستی با شبی به سمت شمال است. شاخص ریخت زمین ساختی در این پهنه گسلی فعالیت تکتونیکی بالا نشان می‌دهند. به دلیل پویایی تکتونیکی منطقه شمال بیرجند، رخداد مهاجرت در این پهنه گسلی با ایجاد پرتگاه‌های گسلی متناوب، قابل مشاهده است. در سیستم‌های راندگی که فشردگی در جریان است، بخشی از کوتاه‌شدگی صرف برخاستگی چین‌ها به صورت دگریختی پلاستیک و بخشی دیگر از کوتاه‌شدگی به شکل الاستیک صرف برش و ایجاد صفحات گسلی جدید به موازات راندگی اصلی می‌شود (McClay, 1992). در تمام مقاطع ترسیمی عمود بر امتداد گسل شکرآب، روندهایی از گسل‌ها با امتدادی موازی با گسل اصلی مشاهده می‌شود. در مقاطع مذکور از شمال به سمت جنوب راندگی واحدهای قدیمی روی واحدهای جوان‌تر، افزایش شبی در سطوح پرتگاه‌های متعدد گسلی و همچنین وجود آثار گسل‌لش پنهان در نهشته‌های که در دشت جنوبی کوه شکرآب واقع شده‌اند، مشاهده می‌شود که بیانگر رشد و مهاجرت عرضی پرتگاه‌ها گسلی در سیستم شکرآب از سمت شمال به سمت جنوب (از کوهستان به طرف دشت) می‌باشدند. براساس نتایج مدل‌سازی انجام گرفته و مقایسه با نتایج تحقیقات مشابه بر روی مدل‌سازی (Abd El-Wahed and Kamh, 2010; Abd El-Wahed and Kamh, 2010; Bhattacharyya and Mitra, 2009; Booth et al., 2004; Costa and Vendevill, 2002; Nina et al., 2004 and Ramberg, 1967) مهمترین عامل ایجاد پرتگاه‌های گسلی متناوب در منطقه شمال بیرجند، فشارش شمالی-جنوبی راندگی شکرآب ناشی از مداومت کوتاه‌شدگی در پایانه‌های شرقی غربی گسل نهبندان می‌باشد. در هر مرحله مدل‌سازی با افزایش مقدار کوتاه شدگی، پرتگاه‌های گسلی جدید ظاهر می‌شوند به‌نحوی که اولین راندگی در سمت شمال پهنه شکرآب ایجاد می‌گردد و پرتگاه‌های

1. Duplex
2. Pop-Up
3. Triangle Zone
4. Ower structur
5. Foreland breaking sequence

- earthquake history in the Iranian Plateau. *Journal of Structural Geology*, 23, 563-584.
- Bhattacharyya, K. and Mitra, G., 2009. A new kinematic evolutionary model for the growth of a duplex-an example from the Rangit duplex, Sikkim Himalaya, India. *Gondwana Research*, 16, 697-715.
 - Booth, P.W.K., Brunsdon, G. and Shone, R.W., 2004. A duplex model for the Eastern Cape Fold Belt. *Gondwana Research*, 7, 211-222.
 - Cembrano, J., Gonzalez, G., Arancibia, G., Ahumada, I., Olivares, V. and Herrera, V., 2005. Fault zone development and strain partitioning in an extensional strike-slip duplex. *Tectono-physics*, 400, 105-124.
 - Costa, E. and Vendevill, B.C., 2002. Experimental insights on the geometry and kinematics of fold and thrust belts above weak, viscous evaporitic decollement. *Journal of Structural Geology*, 24, 1729-1739.
 - Keller, E. A., Gurolla, L. and Tierney, T. E., 1999. Geomorphic criteria to determine direction of lateral propagation of reverse faulting and folding. *Geology*, 27, 515-518.
 - Koji, H.A. and Vendevill, B.C., 2003. The effect of decollement dip on geometry and kinematics of model accretionary wedges. *Journal of Structural Geology*, 25, 1445-1450.
 - Lifton, N.A. and Chase, C.G., 1992. Tectonics, climatic and lithologic influences on landscape fractal dimension and hypsometry: implications for landscape evolution in the San Gabriel Mountains, California. *Geomorphology*, 5, 77-114.
 - Mueller, K. and Talling, P., 1997. Geomorphic evidence for tear faults accommodating lateral propagation of an active fault-bend fold, Wheeler Ridge, California. *Journal of Structural Geology*, 19, 397 -411.
- ساختاری کوه کمر حاجی (شمال غرب بیرجند-شرق ایران). پایان نامه کارشناسی ارشد، دانشگاه بیرجند، ۱۶۵.
- رشیدی، ا.، خطیب، م.م.، هیهات، م.ر. و موسوی، س.م.، ۱۳۹۳. تحلیل عناصر ساختاری کوه کمر حاجی، شمال باختر بیرجند. *فصلنامه علوم زمین*، ۹۳، ۲۸۸-۲۷۳.
 - علی‌امی، م.ا.، خطیب، م.م.، حسامی آذر، خ. و هیهات، م.ر.، ۱۳۹۳. ارزیابی لرزه زمین ساختی راندگی‌ها و پهنه‌های گسلی پنهان در گستره مختاران-خاور ایران. *مجله زمین‌شناسی کاربردی پیشرفتی دانشگاه شهید چمران اهواز*، ۱۲، ۴۱-۵۲.
 - یزدان پناه، ح.، خطیب، م.م.، نظری، ح. و غلامی، ا.، ۱۳۹۴. تحلیل جنبش شناختی امتدادلغز در یک پهنه برشی با نرخ لغزش ناهمسان: مطالعه موردی پهنه لوت، خاور ایران. *فصلنامه علوم زمین*، ۹۷، ۲۷۹-۲۹۰.
 - یوسفی، م.، تحلیل مهاجرت پرتگاه‌های گسلی فعال شکر آب با استفاده از داده‌های ریخت زمین ساختی و نوزمین ساختی. پایان نامه کارشناسی ارشد، دانشگاه بیرجند، ۱۲۰ ص.
 - یوسفی، م.، خطیب، م.م.، غلامی، ا. و موسوی، س.م.، ۱۳۹۲. ارزیابی فعالیت گسل شکرآب (شمال بیرجند) بر مبنای داده‌های ریخت زمین ساختی. *فصلنامه پژوهش‌های دانش زمین*، ۱۴، ۵۲-۶۵.
 - یوسفی، م.، خطیب، م.م. و غلامی، ا.، ۱۳۹۴. ارزیابی مهاجرت پرتگاه‌های گسلی شکرآب، یکی از سرچشم‌های لرزه‌زای شهر بیرجند. *فصلنامه زمین ساخت*، ۲، ۵۰-۳۶.
 - Abd El-Wahed, M.A. and Kamh, S.Z., 2010. Pan-African dextral transpressive duplex and flower structure in the Central Eastern Desert of Egypt. *Gondwana Research*, 474, 1-22.
 - Allen, M.B., Ghasemi, M.R., Shahrobi, M. and Qorashi, M., 2003. Accommodation of late Cenozoic oblique shortening in the Alborz range, northern Iran. *Journal of Structural Geology*, 25, 659-672.
 - Berberian, M. and Yeats, R. S., 2001. Contribution of archaeological data to studies of

- Molinaro, M., Guezou, J.C., Leturmy, P., Eshraghi, S.A. and Frizon de Lamotte, D., 2004. The origin of changes in structural style across the Bandar Abbas syntaxis, SE Zagros (Iran). *Marine and Petroleum Geology*, 21, 735-752.
- McClay, K., 1992. *Thrust Tectonic*. Pergamon Press. 435.
- Nina, K., Serge, E.L., Jacques, M., Marc, A.G. and Timothy, J.R., 2002. Mechanical decoupling and basal duplex formation observed in sandbox experimental switch application to the Western Mediterranean Ridge accretionary complex. *Marine Geology*, 186, 29-42.
- Plafker, G. 1976. Tectonic aspects of the Guatemala earthquake of 4 February 1976. *Science*, 193, 1201-1208.
- Pondard, N., Armijo, R., King, G.C.P., Meyer, M. and Flerit, F., 2007. Fault interactions in the Sea of Marmara pull-apart (North Anatolian Fault): earthquake clustering and propagating earthquake sequences. *Geophysics Journal of International*, 171, 1185-1197.
- Ramberg, H., 1967. Model experimentation of the effect of gravity on tectonic processes. *The Geophysical Journal of the Royal Astronomical Society*, 14, 307-329.
- Ramberg, H., 1981. *Gravity, Deformation and the Earth's Crust*. Academic Press, London.
- Tirrule, R., Bell, L.R., Griffis, R.J. and Camp, V.E., 1983. The Sistan suture zone of eastern Iran. *Geological Society of America*, 94, 134-150.
- Stewart, I.S. and Hancock, P.L., 1990. What is a fault scarp. *Episodes*, 13, 250-263.
- Woodcock, N.H. and Rickards, B., 2003. Transpressive duplex and flower structure: Dent Fault System, NW England. *Journal of Structural Geology*, 25, 1981-1992.